

# 图谱论导引(第十五期)

## 等距正则图

设 $G$ 为半径为 $d$ 的连通图. 对 $i = 1, 2, \dots, d$ , 记 $\Gamma_i(u)$ 为一切与 $u$ 相距 $i$ 长度之点集合. 称 $G$ 为等距正则的 (distance-regular) 若且仅若存在非负整数 $b_0, b_1, \dots, b_{d-1}$ 与 $c_1, c_2, \dots, c_d$ 使得对任意相距 $i$ 的两点 $u, v$ 都有

$$\begin{aligned} b_i &= |\Gamma_{i+1}(u) \cap \Gamma_1(v)| \\ c_i &= |\Gamma_{i-1}(u) \cap \Gamma_1(v)| \end{aligned}$$

例如Petersen图等距正则, 其系数 $\{b_0, b_1; c_1, c_2\} = \{3, 2; 1, 1\}$ .

对Johnson图 $J(n, m)$ (等价的,  $J(n, n-m)$ )而言, 直径为 $\min\{m, n\}$ . 系数

$$\begin{aligned} b_i &= (m-i)(n-m-i) \\ c_i &= i^2 \end{aligned}$$

称图 $G$ 与谱唯一对应, 若且仅若 $G$ 谱对应的所有图同构于 $G$ . 例如任意度为2的正则图可由谱决定. 由于 $G$ 之谱唯一确定了 $\overline{G}$ 之谱, 从而度为 $n-3$ 之简单图可由谱唯一确定. 实际上, Finck等人证明了度为 $n-3$ 的重边图之谱亦可唯一确定原图. 实际上大有"一谱多图"的例子, 例如 $K_{1,4}$ 与 $K_1 \dot{\cup} C_4$ 之谱均为 $(0^2, +2, -2)$ , 而两图并不相同. 判断可被谱唯一决定的图系本章关键. 例如以下例子:

1.  $L(\overline{C_6})$ 能由谱唯一确定. 换言之,  $(4, 2, 1^2, (-1)^2, (-2)^3)$ 唯一确定了 $L(\overline{C_6})$ .

**证明:** 下证明 $(4, 2, 1^2, (-1)^2, (-2)^3)$ 唯一确定 $L(\overline{C_6})$ . 注意到 $n\lambda_{\max} = 36 = \sum \lambda_i^2$ , 从而原图 (记作 $G$ ) 正则, 且其度为4. 任取 $u \in V(G)$ , 记 $u$ 邻域的导出子图为 $G(u)$ . 注意到

$|E(G)| = \frac{1}{2} \sum \lambda_i^2 = 18$ , 从而 $|E(G(v))|$ 之期望小于3, 即存在 $u$ 使得 $|E(G(u))| \leq 2$ . 记 $G^*(v)$ 为 $\{v\} \cup N(v)$ 的导出子图,  $H$ 为 $V(G) \setminus (\{v\} \cup N(v))$ 的导出子图, 则 $G^*(v)$ 与 $H$ 间连边数量为8.

同时, 为避免导出子图的最小特征值小于 $-2$ ,  $G(u)$ 中包含了两条互不相交之边, 进而 $H$ 中不存在一点 $u$ 使得 $|N(u) \cap V(G^*)| = 3$ . 综上,  $H \cong C_4$ . 现已确定 $\{v\}$ 与 $G(v)$ 的四条连边,  $G^*(v)$ 与 $H$ 的八条连边,  $H$ 中四条边, 剩下两条边只能添加至 $G(v)$ 内. 列举得所有可能值为 $L(\overline{C_6})$ 与 $L(K_{3,3})$ , 验证之即为 $L(\overline{C_6})$ .

2.  $H_8$ 是度数为3的正则图, 其通过向两个由四个点与五条边构成的图形间添加两条边所得. 则 $L(H_8)$ 由谱唯一确定, 其中 $L(H_8)$ 之谱为

$$(4, 1 + \sqrt{5}, 2, 0^4, 1 - \sqrt{5}, (-2)^4).$$

**证明:** 设 $G$ 由某一谱为 $(4, 1 + \sqrt{5}, 2, 0^4, 1 - \sqrt{5}, (-2)^4)$ 的图. 同样由 $n\lambda_1 = \sum \lambda_i^2$ 知 $G$ 正则, 其边数为24. 任取 $u \in V(G)$ ,

## 最小特征值为 $-2$ 的图

以下将通过一系列例子探究 $\lambda_{\min} = -2$ 且能由谱唯一确定的图.

1. 当 $n \neq 8$ 时,  $L(K_8)$ 能由谱唯一确定, 其中谱为 $(2n-4, (n-4)^{(n-1)}, (-2)^{n(n-3)/2})$ .

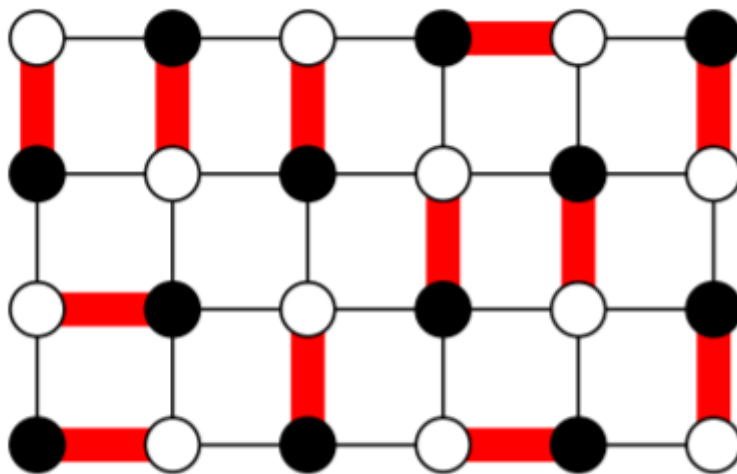
**证明:** 注意到 $L(K_8)$ 为强正则图, 故可参考第三期文章, 此处从略.  $n=8$ 之特例为Chang图.

2.  $n \neq 4$ 时,  $L(K_{n,n})$ 能由谱唯一确定, 其中谱为

## 二聚体覆盖问题

### 背景

二聚体覆盖问题(dimer coloring)具有较强的物理学背景, 其旨在探索了晶体上二聚微粒覆盖的平均熵. 问题叙述简单: 给定 $m \times n$ 的网格图 $G(|V(G)| = mn, |E(G)| = (m+1)(n+1))$ , 现于图上选取互不相邻的若干条边使之覆盖 $V(G)$ , 试问取法几何?



例如上图为一可行之取法.

### Kasteleyn定向

不妨设 $\pi(e)$ 为边权重函数,  $\mathcal{C}$ 为一组覆盖. 定义图 $G$ 的Boltzmann权重为

$$\pi(\mathcal{C}) := \prod_{e \in \mathcal{C}} \pi(e).$$

关于所有覆盖累加之, 得分划函数

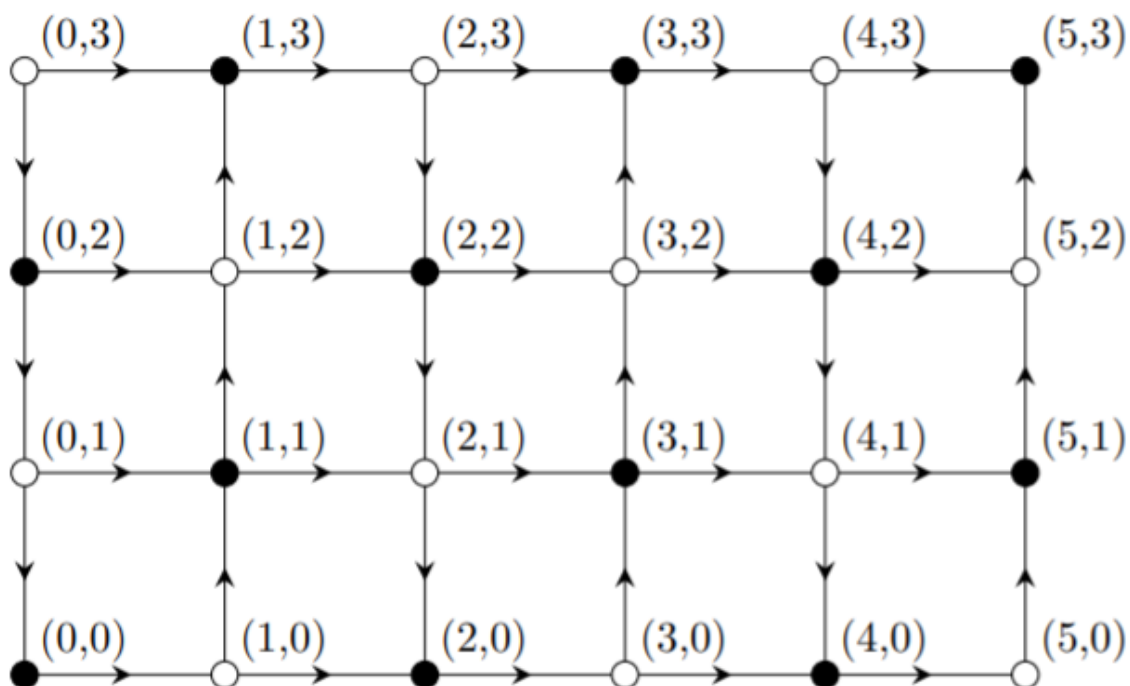
$$Z_G := \sum_{\mathcal{C}} \pi(\mathcal{C}) = \sum_{\mathcal{C}} \prod_{e \in \mathcal{C}} \pi(e).$$

倘若存在某种权重使得 $\prod_{e \in \mathcal{C}} \pi(e)$ 于覆盖合理之时恒为某一非零值, 岂不美哉? 为构造之, 不妨设 $(w_1, \dots, w_n)$ 为全体白顶点,  $(b_1, \dots, b_n)$ 为全体黑顶点作Kasteleyn矩阵 $K_{N \times N}$ , 其中

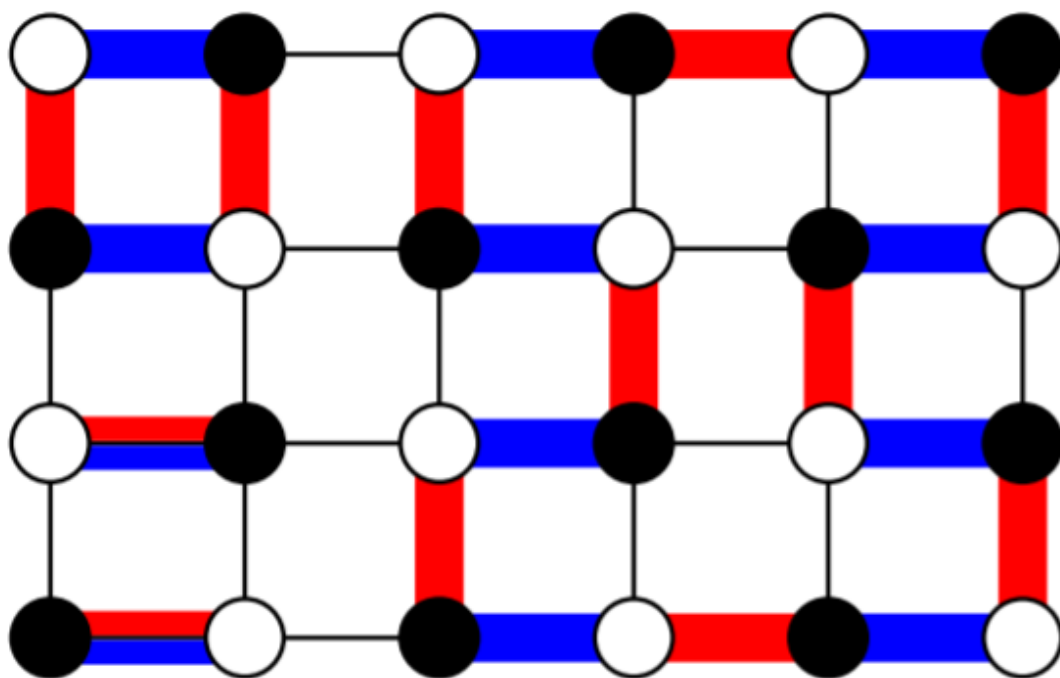
$$K_{ij} = \begin{cases} +\pi(w_i, b_j) & w_i \rightarrow b_j \\ -\pi(w_i, b_j) & w_i \leftarrow b_j \\ 0 & \text{else.} \end{cases}$$

计算 $\det K = \sum_{\sigma} \text{sgn}(\sigma) (\prod_i K_{i, \sigma(i)})$ .  $\sigma$ 有效若且仅若诸 $w_i$ 均与 $b_{\sigma(i)}$ 相邻, 亦即 $\{(w_i, b_{\sigma(i)}) : i \in \{1, \dots, n\}\}$ 为二聚体覆盖. 自然地, 能否给出一种权重使得一切 $\text{sgn}(\sigma)$ 同号? 此时 $Z_G = |\det K|$ .

以下给出Kasteleyn定向:



如下图, 任取红, 蓝两种覆盖, 分别记作 $\mathcal{C}$ 与 $\mathcal{C}'$ .



由于红圈与蓝圈共同组成若干长度为偶数的闭合圈之无交并,  $\mathcal{C}$ 所对应的置换 $\sigma$ 与 $\mathcal{C}'$ 所对应者 $\sigma'$ 仅相差一个置换. 若使用Kasteleyn定向, 则任意覆盖 $\mathcal{C} \cup \mathcal{C}'$ 中, 一切长为 $2l$ 的圈中满足 $b \rightarrow w$ 的边数量为 $l + 1$ . 从而

$$\frac{\text{sgn}(\sigma)}{\text{sgn}(\sigma')} = (-1)^{\sum(l_i+1)+\sum(l_i+1)} = 1.$$

其中 $2l_i$ 为每个圈的长度. 其中, 前一项 $\sum(l_i + 1)$ 为转换置换

$$\prod_i \begin{pmatrix} 1 \cdots l_{i-1} l_i \\ 2 \cdots l_i 1 \end{pmatrix}$$

奇偶转化次数, 后一项 $\sum(l_i + 1)$ 为一切 $b \rightarrow w$ 之数量导致的奇偶改变次数. 合并你考虑之,  $\sigma$ 与 $\sigma'$ 同号, 从而在Kasteleyn定向下有 $Z_G = |\det K|$ .

### $\det K$ 的计算

不妨设网格图 $G$ 大小为 $m \times n$ , 其中 $m$ 为偶数, 构造Kasteleyn定向(参照上一小节). 记对任意竖直边 $e_\perp$ ,  $\pi(e_\perp) = z_1$ ; 对任意水平边 $e_\parallel$ ,  $\pi(e_\parallel) = z_2$ . 从而

$$K_{(x,y),(x',y')} = z_1(\delta_{x+1}^{x'} - \delta_{x-1}^{x'})\delta_y^{y'} + z_2(-1)^x(\delta_{y+1}^{y'} - \delta_{y-1}^{y'})\delta_x^{x'}$$

其中 $\delta_x^y = 1 - \operatorname{sgn}(|x - y|)$ . 记 $Q_{xx'} = (-1)^x(\delta_{x+1}^{x'} - \delta_{x-1}^{x'})$ ,  $R_{yy'} = (\delta_{y+1}^{y'} - \delta_{y-1}^{y'})$ , 从而

$$K_{(x,y),(x',y')} = (-1)^{-x}(z_1 Q_{xx'} \delta_{yy'} + z_2 R_{yy'} \delta_{xx'}).$$

记所有 $K_{(m,n),(m',n')}$ 构成 $(mn)$ 阶方阵 $\tilde{K}$ (作为比较,  $2 \dim K = \dim K'$ ). 从而

$$|\det \tilde{K}| = \left| \sum_{\sigma} \operatorname{sgn}(\sigma) \prod_{(x,y) \in V} K_{(x,y), \sigma(x,y)} \right| = \left[ \sum_{\sigma} \prod_i K_{i, \sigma(i)} \right]^2 = (\det K)^2$$

实际上,  $\det K$ 即 $\tilde{K}$ 之Pfaffian.

注意到

$$\tilde{K} = (S \otimes \mathbf{1}_n)(z_1 Q \otimes \mathbf{1}_n + z_2 \mathbf{1}_m \otimes R).$$

其中 $S_{xx'} = (-1)^x$ . 设向量 $u_t = (t, t^2, t^3, \dots, t^n)$ , 注意到

$$Ru_t = (t^{-1} - t)u_t + (-1, 0, \dots, 0, t^{n+1}).$$

从而

$$R(u_t - u_{-1/t}) = (t^{-1} - t)(u_t - u_{-1/t}) + (0, \dots, 0, t^{n+1} - (-t)^{-n-1}).$$

当 $t = -ie^{ik\pi/(n+1)}$ 时,  $(u_t - u_{-1/t})$ 为对应特征向量, 对应特征值 $\lambda_p(R) = 2i \cos \frac{\pi p}{n+1}$ . 同理设

$v_t = (t, it^2, t^3, it^4, \dots, it^m)$ 可求得 $\lambda_q(Q) = 2 \cos \frac{\pi q}{m+1}$ . 注意到 $z_1 Q \otimes \mathbf{1}_n + z_2 \mathbf{1}_m \otimes R$ 的特征向量为 $R$ ,  $Q$ 特征向量之张量积, 从而

$$\begin{aligned} |\det \tilde{K}| &= \prod_{p=1}^n \prod_{q=1}^m |z_1 \lambda_q(Q) + z_2 \lambda_p(R)| \\ &= \prod_{p=1}^n \prod_{q=1}^{m/2} |(z_1 \lambda_q(Q))^2 - (z_2 \lambda_p(R))^2| \\ &= 2^{mn} \prod_{p=1}^n \prod_{q=1}^{m/2} \left| \left( z_1 \cos \frac{\pi q}{m+1} \right)^2 + \left( z_2 \cos \frac{\pi p}{n+1} \right)^2 \right| \end{aligned}$$

因此,

$$Z_{mn}(z_1, z_2) = 2^{mn/2} \prod_{p=1}^n \prod_{q=1}^{m/2} \sqrt{\left( z_1 \cos \frac{\pi q}{m+1} \right)^2 + \left( z_2 \cos \frac{\pi p}{n+1} \right)^2}$$

例如使用 $2 \times 1$ 木块覆盖国际象棋棋盘之种数为12988816种.

## 平均覆盖类数之极限

我们自然关心  $Z_{mn}(z_1, z_2)$  与  $mn$  的关系. 据物理学背景, 平均自由能

$$f(z_1, z_2) := - \lim_{m, n \rightarrow \infty} \frac{1}{mn} \log Z_{mn}(z_1, z_2)$$

应为某一常数. 据二重黎曼积分之定义,

$$\begin{aligned} f(z_1, z_2) &= - \lim_{m, n \rightarrow \infty} \frac{\log 2^{mn/2}}{mn} \log \prod_{p=1}^n \prod_{q=1}^{m/2} \sqrt{(z_1 \cos \frac{\pi q}{m+1})^2 + (z_2 \cos \frac{\pi p}{n+1})^2} \\ &= - \frac{1}{\pi^2} \int_0^{\pi/2} d\theta \int_0^{\pi/2} \log[4(z_1^2 \cos^2 \theta + z_2^2 \cos^2 \phi)] d\phi \\ &= - \frac{1}{\pi} \int_0^{\pi/2} d\theta \left[ \frac{1}{2} \log^2(2z_2 \cos \theta) + \frac{1}{\pi} \int_0^{\pi/2} \log \left( 1 + \frac{\cos^2 \phi}{(\frac{z_2}{z_1})^2 \cos^2 \theta} \right) d\phi \right] \\ &= - \frac{1}{\pi} \int_0^{\pi/2} d\theta \left[ \log(2z_2 \cos \theta) + \log \frac{1 + \sqrt{1 + \frac{z_1^2}{z_2^2 \cos^2 \theta}}}{2} \right] \\ &= - \frac{1}{\pi} \int_0^{\pi/2} d\theta (\log z_1 + \log(\frac{z_2}{z_1} \cos \theta + \sqrt{1 + (\frac{z_2}{z_1})^2 \cos^2 \theta})) \\ &= - \frac{1}{2} \log z_1 - \frac{1}{\pi} \int_0^{\pi/2} g(\frac{z_2}{z_1} \cos \theta) d\theta \end{aligned}$$

其中

$$g(x) = \log(x + \sqrt{1+x^2}) = \sum_{j=0}^{\infty} \binom{2j}{j} \frac{(-1)^j}{(2j+1)2^{2j}} x^{2j+1}.$$

故

$$\begin{aligned} \int_0^{\pi/2} g(\cos \theta) d\theta &= \sum_{j=0}^{\infty} \int_0^{\pi/2} \binom{2j}{j} \frac{(-1)^j (z_2/z_1)^{2j+1}}{(2j+1)2^{2j}} \cos^{2j+1} \theta d\theta \\ &= \sum_{j=0}^{\infty} \frac{(-1)^j}{(2j+1)^2} (z_2/z_1)^{2j+1} \\ &= \int_0^{z_1/z_2} \frac{\arctan t}{t} dt \\ &= \frac{1}{2i} (\text{Li}_2(iz_1/z_2) - \text{Li}_2(-iz_1/z_2)) \end{aligned}$$

特殊地, 令  $z_1 = z_2 = 1$ , 则

$$f(1, 1) = - \frac{1}{\pi} \int_0^1 \frac{\arctan t}{t} dt = - \frac{G}{\pi}$$

其中  $G$  为 Catalan 常数.

